مجله علوم کشاورزی و منابع طبیعی جلد پانزدهم، شماره اول، فروردین ــ اردیبهشت ۱۳۸۷ www.jasnr.info www.sid.ir www.magiran.com/jasnr

تأثيرعوامل زمين شناسي دركيفيت شيميايي منابع تأمين آب آشاميدني گرگان

*مصطفی رقیمی ٔ، عزیز رحیمی چاکدل ٔ، مجتبی قرهمحمودلو ٔ، مجید شاه پسندزاده ٔ و سیدمحمد سیدخادمی ٔ

دانشیار گروه زمینشناسی دانشگاه علوم کشاورزی و منابع طبیعی گرگان، ^۲استادیار گروه زمینشناسی دانشگاه علوم کشاورزی و منابع طبیعی گرگان، ^۴استادیار مؤسسه بینالمللی زلزله منابع طبیعی گرگان، ^۴مربی گروه منابع طبیعی دانشگاه علوم کشاورزی و منابع طبیعی گرگان، ^۴استادیار مؤسسه بینالمللی زلزله و فاضلاب استان گلستان تاریخ دریافت: ۸۲/٤/۱٪ تاریخ پذیرش: ۸۲/٤/۳

چکیده

حدود ۸۰ درصد منابع تأمین آب آشامیدنی گرگان را آبخوانهای زیارت، گرمابدشت و شصتکلاته و ۲۰ درصد آن را آبهای سطحی منطقه (رودخانههای زیارت و النگدره) تشکیل میدهند. از دادههای شیمیایی مربوط به منابع تأمین آب آشامیدنی برای تجزیه تحلیل هیدروژئوشیمیایی آبخوان شهر گرگان استفاده شده است. بنابر نمودارهای پایپر و دورو، آشامیدنی برای تجزیه تحلیل هیدروژئوشیمیایی آبهای سطحی و زیرزمینی منطقه عمدتاً از نبوع بی کربنات کلسیم – منیزیم و کلروره (بی کربنات) کلسیم – منیزیم و کلروره (بی کربنات) کلسیم – منیزیم و تلاون آنها از نبوع بی کربنات کلسیم منیزیم و بدون نوع غالب و آنیون آن از نوع بی کربنات، کلرید با آنیون غالب بی کربنات است. با توجه به مقدار کربنات کلسیم موجود در این آبها، منابع تأمین آب آشامیدنی گرگان در رده آبهای خیلی سخت قرار می گیرند. مادامی که بر طبق است. بر طبق اطلاعات بهدست آمده از نمودارهای غلظت یونهای اصلی و نمایه اشباع (SI) میزان غلظت یونها در بحث تربر طبق اطلاعات بهدست آمده از نمودارهای غلظت یونهای اصلی و نمایه اشباع روی نمودارهای گسل خزر) صادق نمیباشد و دارای غلظتهایی کمتر از چاههای جنوبی هستند. تغییرات نمایههای اشباع روی نمودارهای او SI دارای دروندی یکنواخت نمیباشد. پس می توان نتیجه گرفت که گسل خزر باعث تغییرات شدیدی در غلظت یونها و نمایههای اشباع آب زیرزمینی در ناحیه شمال شهر گرگان شده است. براساس تحلیل نتایج دادههای آزمایشگاهی، شناخت دقیق کیفیت شیمیایی منابع تأمین آب آشامیدنی می تواند در مدیریت و برنامهریزی تأمین آب آشامیدنی این شهر مفید باشد.

واژههای کلیدی: عوامل زمین شناسی، کیفیت شیمیایی، هیدروشیمی آب آشامیدنی، شهر گرگان

مقدمه

کیفیت شیمیایی به عنوان یکی از مهمترین خصوصیات آب آشامیدنی همیشه مدنظر بوده است.

خصوصیات شیمیایی آبهای طبیعی بازتابی از خاکها و سنگهای مرتبط به آن میباشد (مالینا، ۱۹۹۹). رخسارههای هیدروشیمیایی نیز عملکردی از سنگ شناسی، نیروی جنبشی محلول و الگوی جریانی هستند (بک، ۱۹۲۲). گسلها نیز با جابجایی لیتولوژی مختلف و

^{*-} مسئول مكاتبه: raghimi@yahoo.com

ایجاد سدهای هیدرولیکی تأثیرات متفاوتی را بر کیفیت شیمیایی و جهت حرکت آب زیرزمینی میگذارند. ارتباط بین جریانهای آبهای زیرزمینی با ویژگیهای هیدرولوژیکی و هیدروشیمی آبخوانها مورد مطالعه بسیاری از محققین قرار گرفته است (دومنی، ۱۹۷۲) اوفوری و تود، ۱۹۸۹؛ بایاری و کورتاس، ۱۹۹۵ و جونگ، ۲۰۰۱).

برطبق رهنمودهای کیفیت آب آشامیدنی کشور استرالیا "... به طور آرمانی، آب آشامیدنی باید شفاف، بیرنگ، بدون مزه، بیبو، و باید عاری از مواد معلق، مواد شیمیایی مضر و میکروارگانیسمهای بیماریزا باشد" (آب آشامیدنی، ۲۰۰۳).

دو پارامتر مهم برای این سکانسهای آنیونی و کاتیونی عبارتنداز: ۱- در دسترس بودن کانیها ۲- نرخ انتشار این سکانس به وسیله عوامل طبیعی (رودخانهها و آبهای سطحی، گسل، اختلاط، لیتولوژی و...) و فعالیت انسانی (آب برگشتی کشاورزی، نشت پسابهای شهری و صنعتی، نشت از چاههای جذبی و ...) که همواره دستخوش تغییر هستند. یکی از عوامل مؤثر بر سکانس تکاملی آنیونی و کاتیونی گسلها میباشند که به طرق مختلف از جمله تغییر لیتولوژی، ایجاد زون نفوذپذیر جهت نفوذ آبهای سطحی (نزدیک شدن کیفیت شیمیایی جهت نفوذ آبهای سطحی (نزدیک شدن کیفیت شیمیایی آب زیرزمینی به محل تغذیه)، ایجاد تخلخل ثانویه میتواند بر سکانس تکاملی آنیونی و کاتیونی تأثیر گذارد (فیز و چری، ۱۹۷۹).

هدف از ایس تحقیق بررسی کیفیت شیمیایی آب آشامیدنی شهر گرگان و تأثیر عملکرد عوامل زمینشناسی مانند لیتولوژی و گسلهای موجود در منطقه (مانند گسل خزر) در کیفیت هیدروژئوشیمیایی آبهای زیرزمینی و هم چنین تأثیر آن بر سکانس تکاملی یونهای آب زیرزمینی در منابع اصلی تأمین آب آشامیدنی شهر گرگان میباشد.

موقعیت جغرافیایی و زمین شناسی منطقه مورد مطالعه: شهر گرگان در موقعیت طولهای جغرافیایی ۲۵ و ۵۵ تــا

۲۸ و ° ۵۲ شرقی و عرضهای ۶۹ و ° ۳۳ تا ۵۱ و ° ۳۳ شمالی در دامنه شمالی ارتفاعات البرز قرار دارد. این شهر برروی مخروط افکنههای رودخانههای زیارت (ناهارخوران)، انجیر آب و گرمابدشت که از شاخههای فرعی رود قرهسو به شمار میروند، قرار گرفته است. رودخانه قرهسو در محدوه مورد مطالعه، امتداد شمالی – جنوبی دارد. منابع تأمین آب آشامیدنی شهر گرگان را رودخانههای زیارت و النگ دره و سفرههای آب زیرزمینی منطقه تشکیل میدهند (شکل ۱).

از نظر زمین شناسی، در منطقه مورد مطالعه واحدهای سنگی از پالئوزوئیک (مجموعه سنگهای دگرگونی گرگان) تا کواتر نری گزارش شده است (شاه پسندزاده، ۱۹۹۲). به علت نفوذپذیری کم و عدم وجود سفرههای آب گسترده در سنگهای دگرگونی گرگان در مقایسه با نهشتههای مخروط افکنهای کوهپایهها، ژرفای اکثر چاههای آب منطقه محدود به این سنگ بستر میگردد. کلیه چاههای عمیق تأمین کننده آب آشامیدنی گرگان در رسوبات ضخیم مخروط افکنهای متشکل از گراول، شن، ماسه و سیلت حفر شدهاند. گسل خزر نیز از بخش شمالی آن عبور می نماید. با توجه به شیب توپوگرافی شهر شمالی آن عبور می نماید. با توجه به شیب توپوگرافی شهر گرگان، جهت جریان آب رودخانههای زیارت و النگدره و هم چنین آبهای زیر زمینی منطقه از جنوب به شمال گزارش شده است (برگر، ۱۹۷۲ و فنونی، ۱۹۸۹) (شکل گزارش شده است (برگر، ۱۹۷۲ و فنونی، ۱۹۸۹) (شکل

مواد و روشها

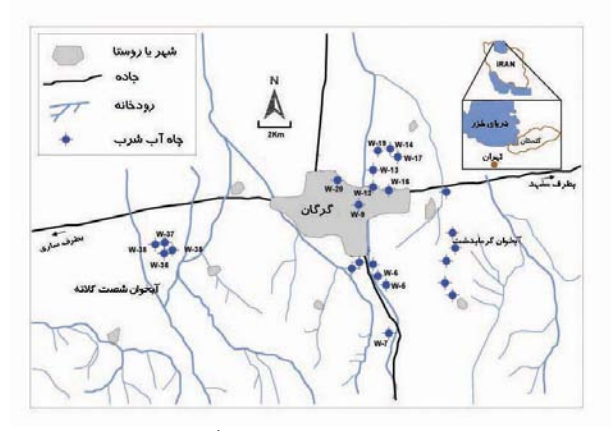
۳٤ نمونه از آبهای سطحی و زیرزمینی منابع تأمین آب آشامیدنی شهر گرگان در دو فصل بهار و زمستان در سال ۱۳۸۳ نمونهبرداری شد (شکل ۱). نمونهبرداری از آبهای زیرزمینی، پس از تخلیه حجمی معادل سه برابر حجم لولههای آب داخل چاهها، در ظرفهای پلاستیکی شستشو داده شده با اسید آب مورد نمونه برداری جمعآوری گردید. نمونههای آب سطحی از رودخانهها قبل از ورود به ایستگاه تزریق مواد از آب خام رودخانه برداشت گردید. نمونههای جمعآوری شده نیز بر طبق روشهای استاندارد تجزیه آب آشامیدنی در

آزمایشگاه شیمی آب، اداره امور آب و فاضلاب شهر گرگان تجزیه شد (مؤسسه استاندارد ایران، ۱۹۸۸؛ آفا، آووا و ویسف، ۱۹۹۵ و ایپا، ۱۹۹۸).

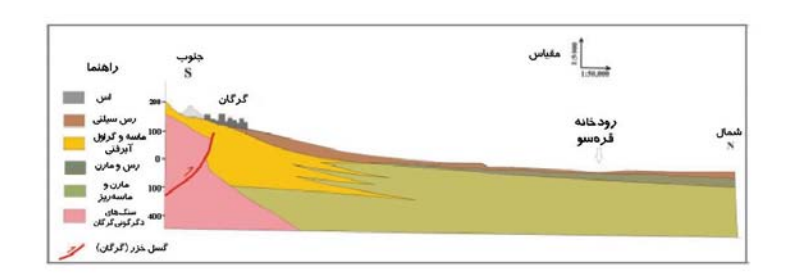
هدایت الکتریکی (EC) نمونههای آب با استفاده از دستگاه هدایت سنج PH ،HACH-۱۵۰ توسط pH توسط pH ،HACH-۱۵۰ توسط Metrohm متر Metrohm و کدورت نمونهها با کدورت سنج HACH-۲۱۰۰p تعیین شده است. مقادیرآنیونهای ۲۵۰۰ -۱۹۰۳، ۳۵۰ و کاتیونهای ۲۵۰٬ ۳۵۰، ۳۵۰ و کاتیونهای ۲۳۰٬ ۳۵۰ و کاتیونهای ۲۸۰٬ ۳۵۰ و کاتیونهای ۲۵۰٬ ۳۵۰ و کاتیونهای ۲۵۰٬ ۳۵۰ و کاتیونهای ۲۵۰٬ ۳۵۰ و سختی کل از روش تیتراسیون HACH و سختی کل از روش تیتراسیون دیجیتالی برحسب میلی گرم در لیتر اندازه گیری گردیدهاند. ابتدا با استفاده از نقشههای هم ارزش روند کلی تغییرات برخی پارامترهای شیمیایی نظیر هدایت الکتریکی، کلرید، برخی پارامترهای شیمیایی نظیر هدایت الکتریکی، کلرید، نیترات مورد بررسی قرار گرفت. در مرحله بعد برخی از چاههای یک روند شمالی – جنوبی انتخاب شد (شکل جاههای یک روند شمالی – جنوبی انتخاب شد (شکل

سپس تغییرات غلظت یونها در این روند با استفاده از نمودار سریها مورد تجزیه و تحلیل قرار گرفت. جهت

تفسیر بهتر تیپ و تکامل ژئوشیمیایی آب زیرزمینی از نمودار دورو (Durov) استفاده شده است. این نمودار را مى توان صورت تكامل يافته ترى از نمودار پايپر به حساب آورد. بهمنظور بررسى دقيقتر هيدروژئوشيميايي آبخوان مورد مطالعه از نمودارهای ترکیبی در دو فصل بهار و زمستان استفاده گردید. این نمودارها براساس غلظت یونهای اصلی(TDI) در محور افقی و غلظت آنیونها و یا کاتیون ها در محور قائم استوار میباشد. یکی از مهمترین کاربردهای این نمودار در تشخیص منابع تغذیه کننده آب زیرزمینی می باشد به طوری که نحوه آرایش نمونهها دلالت بر منابع تغذیهکننده آنها دارد. جهت محاسبه نمایههای اشباع (SI) نمونههای آب زیرزمینی از كد كامييوتري PHREEQC I (پارخورست و آيلو، ١٩٩٩) استفاده شده است. جهت تعيين منشاً مواد جامد محلول از تغييرات نسبت (Na/(Na+Ca و المحلول ال (Cl+HCO₃) با مجموع مواد جامد محلول از نمودار بوم رنگ ژییس استفاده شده است.



شکل ۱- موقعیت چاههای نمونهبرداری شده از منابع تأمین آب آشامیدنی شهر گرگان.



شکل ۲- برش زمین شناسی از نهشته های آبرفتی آبخوان زیارت. این برش با راستایی شمالی - جنوبی از شهر گرگان تا رودخانه قرهسو بر پایه اطلاعات ۵ حلقه چاه آب اکتشافی و بهره برداری رسم شده است (با تغییرات از برگر، ۱۹۷۲).

جهت تجزیه و تحلیل دادههای هیدروشیمیایی منابع تأمین آب آشامیدنی از نرمافزارهای 99 Rockworks, 99 و Aquachem, 4 بهره گیری شد.

نتایج و بحث

نتایج تجزیه شیمیایی منابع تأمین آب آشامیدنی گرگان در (جدولهای ۱ و ۲) ارایه شده است. در نمونههای آب تجزیه شده، میزان هدایت الکتریکی از ٤٤٠ تا حداکثر ۱/۱۶۳۰ میکروموس بر سانتی متر، سختی ۲۰۰ میلی گرم در لیتر و ۱/۱۶۳۰ تا ۲/۸ تا ۲۸۸ تا ۲۸۸ فرارش می شود. منابع تأمین آب آشامیدنی ۱، ۵، ۸، ۲۱ و گزارش می شود. منابع تأمین آب آشامیدنی ۱، ۵، ۸، ۲۱ و می شوند، آب این چاهها بعد از ورود به مخازن ذخیره با آبهای با منیزیم پایین مخلوط گردیده، به طوری که شبکه آبرسانی منیزیمی در حد استاندارد خواهد داشت. نتایج تجزیه شیمیایی منابع تأمین آب آشامیدنی شهر گرگان تغییرات قابل توجهی را در میزان نیترات آنها از ۳٫۵ در لیتر تشان می دهد. میزان نیترات آب پیاههای شامیدنی شماره ۲۷ و ۸۸ بیش از ۶۵ میلی گرم در لیتر میزان نیترات آب جاههای شماره ۲۷ و ۸۸ بیش از ۶۵ میلی گرم در لیتر مقدار مجاز آن در آبهای آشامیدنی است (آفا، ۱۹۹۸).

تمرکز آنیون کلر در آبهای زیرزمینی منطقه گرگان از ۸ میلی گرم در لیتر تا ۲۰۶ میلی گرم در لیتر متغیر است. الگوی تغییرات غلظت یون کلرید در چاههای با میزان غیرمجاز نیترات، از الگوی تغییرات غلظت نیترات آب این چاهها تبعیت می کند. ضمناً، چاههای شماره ۱، ۱۹، ۲۱ و ۲۲ با میزان بالای کلرید ولی مقدار کم نیترات مشخص می شوند. قابل ذکر است که بنابر نقشه کاربری اراضی منطقه مورد مطالعه کلیه چاههای با مقدار زیاد نیترات و کلرید در محدوده شهری قرار دارند.

میزان نیترات آب چاههای ۲۷ و ۲۸ بیش از مقدار مجاز آن در آبهای آشامیدنی است. دو منشاء عمده ممکن است برای مقدار نیترات موجود در منابع تأمین آب آشامیدنی گرگان پیشنهاد شود، شامل فاضلابهای خانگی و تثبیت زیستی نیتروژن در خاک به همراه شستشو و

انتقال آن به آبهای زیرزمینی. الگوی تغییرات کلرید در چاههای با میزان نیترات غیرمجاز از الگوی تغییرات نیترات آب این چاهها تبعیت میکند. با تعیین مقادیر K/Cl و NO₃/Cl، منشأ احتمالی نیترات آبهای زیرزمینی را می توان تعیین کرد. با توجه به این که در گمانه چاههای آب این منطقه و همچنین در مطالعات ژئوالکتریک انجام شده اثری از واحدهای سنگی تبخیری گزارش نشده است (برگر، ۱۹۷۲ و فنونی، ۱۹۸۹). لـذا، امکان وجود نهشتههای تبخیری با شک و تردید همراه است. پایین بودن مقدار نیترات در آبهای زیرزمینی آبخوانهای شصت کلا و گرمابدشت (چاههای شماره ۱۳، ۳۲، ۳۳ و ۳۲) علی رغم قرارگیری چاههای آشامیدنی این آبخوانها در محدوده اراضی کشاورزی نسبت به آبهای زیرزمینی آبخوان زیارت، نشانگر عدم تأثیر یا اثـر ناچیز کودهای شیمیایی بر آلودگی آبهای آشامیدنی این منطقه است. با توجه بـ دفع سنتي فاضلاب و قابليت نسبتاً خوب نفوذپذیری زمینهای دریافتکننده فاضلاب در این منطقه، مهمترین منشاء نیترات در نمونههای آب چاههای آشامیدنی شهر گرگان احتمالاً فاضلابهای شهری میباشد (رقیمی و سیدخادمی، ۲۰۰۱؛ شاه پسندزاده و همکاران، ۲۰۰۲). با توجه به این که اکثریت چاههای با بیشترین میزان نیترات منطقه در بخش های شمالی شهر (چاههای شماره ۲۷ و ۲۸) قرار دارند و نظر به این که شیب توپوگرافی و جهت جریان آبهای زیرزمینی این منطقه از جنوب به سوی شمال است. بنابراین، انتقال آلودگی آب این چاهها توسط فاضلابهای خانگی تأیید مى شود.

رخسارههای هیدروشیمی حاصل اثر متقابل ویژگیهای فیزیکی- شیمیایی سنگها، نیروی جنبشی محلول و الگوهای جریان سفره آب زیرزمینی هستند (بک، ۱۹۲۱). نتایج سنجشهای شیمیایی منابع تأمین آب آشامیدنی شهر گرگان در راستای شناخت رخسارههای هیدروشیمی و نوع آبهای زیرزمینی و سطحی برروی نمودار پایپر، ۱۹۶۶؛ هم،

۱۹۸۹). بنابر نمودار پایپر، ترکیب شیمیایی آبهای زیرزمینی منطقه و همچنین رودخانه زیارت عمدتاً از نوع بی کربنات کلسیم - منیزیم و بدون نوع غالب است. در صورتی که رخساره هیدروشیمی رودخانه النگ دره و سایر منابع آب زیرمینی منطقه از نوع کلرید (بی کربنات) کلسیم - منیزیم و بدون نوع غالب گزارش می شود. منشاهای احتمالی آبهای زیرزمینی نوع کلرید (بی کربنات) کلسیم - منیزیم منطقه می توانند نفوذ

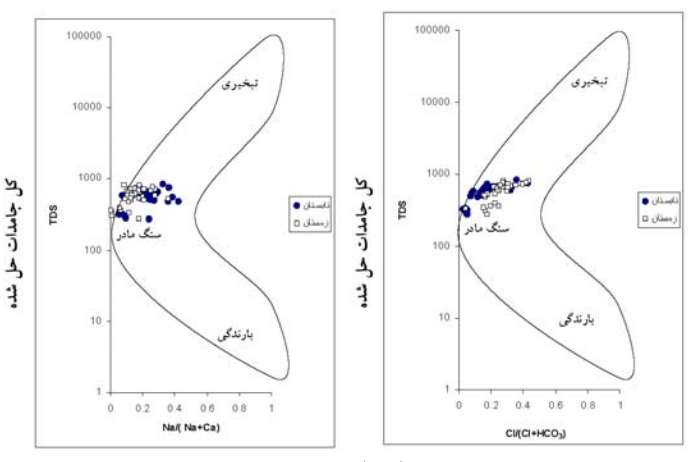
فاضلابهای خانگی شهر گرگان و فروشویی نمکهای تبخیری موجود در لسها باشند. کل جامدات حل شده رودخانهها و آبهای زیرزمینی منطقه در برابر تغییرات نسبت (Na/(Na+Ca) / Cl+HCO^{-۳}) فراد نسبت بوم رنگ ژییس (ژییس،۱۹۷۰) نشانگر تأثیر سنگهای منطقه بر کیفیت شیمیایی آبهای زیرزمینی و سطحی این منطقه است (شکل، ۳ الف و ب).

جدول ۱- نتایج آنالیز شیمیایی چاههای آب آشامیدنی شهر گرگان- بهار ۱۳۸۳ (EC برحسب دسیزیمنس بر متر مابقی برحسب میلی گرم بر لیتر).

•	J. \ J CS	. ، ی ،ر	J. U. "J.G	,		, , ,	<u> </u>	. یی پ	در یا	
NO_3	SO_4	C1	HCO_3	K	Na	Mg	Ca	EC	TDS	چاہ آب
۲۸	177	177	710	٣	٧٠	٤٧	120	1/87.	۸۳۲	1
17	18.	97	۳1.	٩	٤٨	٣٩	110	1/171	701	۲
17/4	11.	٤٨	777	٥/٥	77	77	97	•/٨٤٥	१५०	٣
11	178	٥٧	۲۸.	٣/٥	7.7	19	17.	•/٨٨٥	١٣٥	A٤
٤٦	188	٦٧	777.	0/0	77	٣٧	144	1/1 • •	719	В٤
77	122	٦.	۳.,	٣/٥	79	٤٣	17.	1/• / •	٦٠٧	٥
٣٦	١٣٦	٦٩	٣٤.	٣/٥	777	٤٣	171	1/17•	701	٦
77	18.	٥٩	۳۲.	٣/٥	TV/ 7	٤٤	177	1/174	717	٧
٤٧	107	٧٣	737	٤	٣٦	٤٣	107	1/19.	V71	٨
40	147	٥٠	۳.,	٥	7 £	٣٨	117	•/99•	٥٧٢	٩
١٣	18.	7.7	777	•/٤	72	77	99	•/977	٥٣٥	١.
١٣	107	٣٢	٣٢.	•/٨٥	۲.	7.7	179	•/915	٥٦٩	11
٦	78	10/0	***	۲	74	47	٧٣	•/077	377	17
٩	1	١٤	۲۸.	1/0	٧	19	٧٢	•/00•	٣٠٦	۱۳
٩	78	٨	79.	1/0	٦	١٦	۸۳	·/0V0	771	١٤
٦	19	11	797	1/0	٥	19	۸٠	•/0/•	717	١٥
٧/٩	19	10	YVA	1/0	٤/٩	١٨	٨٤	•/0/0	313	١٦
٩/٦	74	17/V	79.	1/0	0/1	77	۸۲	•/71•	771	١٧
37	188	٦٣	YAA	0/0	٩	٤٦	1.٧	•/97•	٥٨١	١٨
77	171	110	78.	0/0	70	٤١	١٠٨	1/• * •	٥٨٩	١٩
١٤	٧٥	77	220	1/0	٥٨	70	V۸	•/ \	٤٨٠	۲.
72	171	١٣٦	۲۸.	٤	٣٦	٤٨	11.	1/17•	735	۲۱
77	171	7.5	۲٧٠	٤	٥٥	٧٢	97	1/47.	V£ T	77
7.7	177	٥٣	790	٣	٣٦	٣٧	٩٨	•/90•	٥٦٥	77
77	18.	٧١	٣	٣	٤١	٣٧	1.5	1/7	٦٠٣	72
77	107	71	4.0	٣/٥	٤١	37	117	1/•٣•	315	70
١٨	10.	٥٠	٣٢.	٣	٦.	٣٣	97	1/7	٥٥٠	77
٤٩	12.	۸١	799	٤	٣٦	٣٣	171	1/•74	707	77
٤٦	181	٨٥	٣	٤	٣٦	٣٧	14.	1/1 • •	777	۲۸
T V	18.	٥٧	٣1.	٣/٥	٣٦	٣٢	177	1/•٣•	717	79
77	122	٥٢	79 V	٣/٥	٣.	٣٨	1.٧	•/99•	٥٤٧	٣.
74	177	٤٩	31.7	٣/٥	777	٣٧	٩٨	•/41•	٥٤٦	٣١
٧	178	٣٨	YVA	١	٣٦	٤٠	٦٤	٠/٧٥٣	٤٧٠	٣٢
١٣	171	٣٦	77.	٧	77	٣٨	۸۳	• /٨٨٣	٥٠٦	٣٣
Λ/Λ	79	١.	۲	٣	٧	١٤	٦٤	•/٤٦•	۲۸۰	٣٤

جدول ۲- نتایج آنالیز شیمیایی چاههای آب آشامیدنی شهر گرگان– زمستان ۱۳۸۳ (EC برحسب میکروموس بر سانتیمتر مابقی برحسب میلیگرم بر لیتر).

<u> </u>	17 65 -	ى ر . ى .ر	J. U J JJ	· · J.		, , ,	٠ تى ٥		<u></u>	
NO_3	SO_4	C1	HCO ₃	K	Na	Mg	Ca	EC	TDS	چاہ آب
۲۸	177	١٧٦	710	٣	٧٠	٤٧	180	187.	۸۳۲	١
17	18.	9V	۳1.	٩	٤٨	٣٩	110	1177	701	۲
۱۲/۳	11.	٤٨	777	0/0	٣٦	77	٩٦	۸٤٥	१५०	٣
11	178	٥٧	۲۸۰	٣/٥	۲۸	19	17.	۸۸٥	٥٣١	A٤
٤٦	188	٦٧	hh.	0/0	۲٦	٣٧	127	11	719	В٤
77	122	٦٠	٣	٣/٥	44	٤٣	17.	١٠٨٠	٦٠٧	٥
٣٦	١٣٦	٦٩	٣٤٠	٣/٥	٣٢	٤٣	171	117.	701	٦
77	18.	٥٩	٣٢.	٣/٥	۲ ۷/٦	٤٤	١٢٦	1177	717	٧
٤٧	107	٧٣	737	٤	سر	٤٣	١٥٦	119.	V71	٨
70	187	٥٠	۳	٥	7 £	٣٨	117	99.	٥٧٢	٩
١٣	18.	7.7	777	•/٤	7 £	٣٦	99	977	٥٣٥	١.
14	107	٣٢	٣٢.	•//	۲.	۲۸	179	٩٨٤	079	11
٦	72	10/0	777	۲	74	77	٧٢	٥٧٦	377	17
٩	1٧	١٤	۲۸۰	1/0	٧	١٩	V Y	٥٥٠	٣٠٦	12
٩	72	٨	79.	1/0	٦	١٦	۸۲	٥٧٥	771	1 &
٦	19	11	797	1/0	٥	19	۸٠	٥٨٠	717	10
٧/٩	19	10	777	1/0	٤/٩	١٨	٨٤	٥٨٥	313	١٦
٩/٦	74	17/V	79.	1/0	0/1	77	۸۲	71.	٣٢٨	17
٣٤	188	٦٣	7.7.7	0/0	٩	٤٦	1.٧	97.	٥٨١	١٨
77	171	110	78.	0/0	70	٤١	١٠٨	1.7.	٥٨٩	19
١٤	٧٥	77	۲۳٥	1/0	٥٨	70	V۸	۸٠٠	٤٨٠	۲.
37	171	١٣٦	۲۸۰	٤	٣٦	٤٨	11.	117.	727	71
77	171	7.5	۲٧٠	٤	٥٥	٧٢	٩٦	177.	٧٤٣	77
7.7	147	٥٣	790	۲	۲٦	٣٧	٩٨	900	707	77
77	18.	٧١	٣	۲	٤١	٣٧	1.5	17	٦.٣	7 £
77	107	٦١	٣٠٥	٣/٥	٤١	37	117	1.7.	718	70
١٨	10.	٥٠	٣٢.	۲	٦.	٣٣	٩٦	17	٥٥٠	77
٤٩	18.	۸١	799	٤	سر	٣٢	١٢٨	1.74	707	77
٤٦	١٤٨	٨٥	٣	٤	٣٦	٣٧	14.	11	777	7.7
٣٧	18.	٥٧	۳1.	٣/٥	٣٦	٣٢	177	1.7.	717	79
74	122	٥٢	79 V	٣/٥	٣.	٣٨	1.٧	99.	٥٤٧	٣.
77	١٣٢	٤٩	3.47	٣/٥	hh	٣٧	٩٨	91.	٥٤٦	٣١
٧	178	٣٨	YVA	١	٣٦	٤٠	٦٤	٧٥٣	٤٧٠	٣٢
١٣	171	٣٦	77.	٧	77	٣٨	۸۳	۸۸۳	٥٠٦	hh
Λ/Λ	79	١.	7	٣	٧	١٤	٦٤	٤٦٠	۲۸۰	٣٤



شکل ۳- ردهبندی چاههای آب آشامیدنی گرگان بر طبق مدل ژییس.

به عبارت دیگر، تأثیر ویژگی های سنگ شناسی منطقه (سنگ آهک های سازند لار و سنگ های دگرگونی گرگان بر کل جامدات حل شده منابع تأمین آب آشامیدنی گرگان را می توان در نوع آب های زیرزمینی و سطحی منطقه (کربنات کلسیم - منیزیم و بدون نوع غالب) و هم چنین بالا بودن درجه سختی این آب ها مشاهده نمود.

بنابر طبقهبندی سختی آب (Hr) براساس کربنات کلسیم موجود در آن بر طبق معادله ۱ (ساویر و مک کارتی، ۱۹۹۷)،

$$Hr = 2.5Ca + 4.1Mg$$
 (1)

اکثر منابع تأمین آب آشامیدنی شهر گرگان، با سختی کل ۰۶۰-۲۰۰ میلی گرم در لیتر، در رده آب خیلی سخت قرار می گیرند. منابع تأمین آب ۱، ۵، ۵ و ۲۱ دارای آب سخت هستند. با استفاده از نقشههای هم ارزش روند کلی تغییرات برخی پارامترهای شیمیایی نظیر هدایت الکتریکی، کلرید و نیترات مورد بررسی قرار گرفت است. به طور طبیعی پارامترهای هیدروژئوشیمیایی (هدایت الکتریکی، کلرید و نیترات) در جهت حرکت آب زیرزمینی افزایش می یابند اما در محدوده مورد مطالعه این نظم وجود ندارد و به سمت شمال شهر گرگان در امتداد ناحیهای شرقی – غربی میزان غلظت پارامترهای هدایت ناحیه، رفته رفته بر غلظت یونهای افزوده می شود (شکلهای ٤ تا ۹).

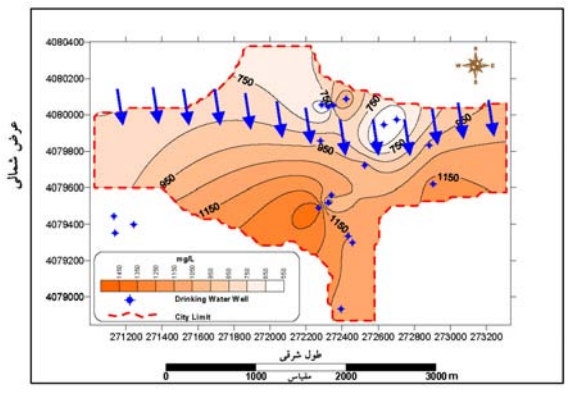
تغییرات غلظت یونها در پروفیل شمالی - جنوبی (شکل ۱۰) با استفاده از نمودار سریها مورد بررسی قرار گرفت (شکلهای ۱۱ و ۱۲). بر این اساس تقریباً غلظت تمامی یونها در جهت جریان آب زیرزمینی بعد از چاه شماره ۲ کاهش می یابند و کمترین مقدار آنها برای آنیونها چاه شماره ۱۲ و کاتیونها چاه شماره ۱۳ می باشد. لازم به ذکر است ناحیهای که در آن غلظت یونها شروع به کاهش یافتن می کند برروی نقشه سازمان زمین شناسی و نقشه تکتونیک شرکت نفت محل عبور گسل خزر تشخیص داده شده است (شهرابی، ۱۹۹۰؛

براساس نمودار دورو (قسمت مربع شکل آن) تنها یک جهت تکامل ژئوشیمیائی برای آب زیرزمینی آبخوان شهر گرگان وجود دارد. این چرخه تکامل یونی تبعیت بیشتری از چرخه تکامل آنیونی نسبت به چرخه تکامل کاتیونی در طول مسیر جریان آب دارد. سیر این تکامل در آبخوان از تیپ بی کربناته در مناطق تغذیه شروع و به تیپ سولفاته در مناطق شمالی ختم می شود. این روند را بوضوح می توان با افزایش TDS نمونههای آب در قسمت مستطیل شکل نمودار دورو مشاهده نمود (شکاهای ۱۳ و ۱۵).

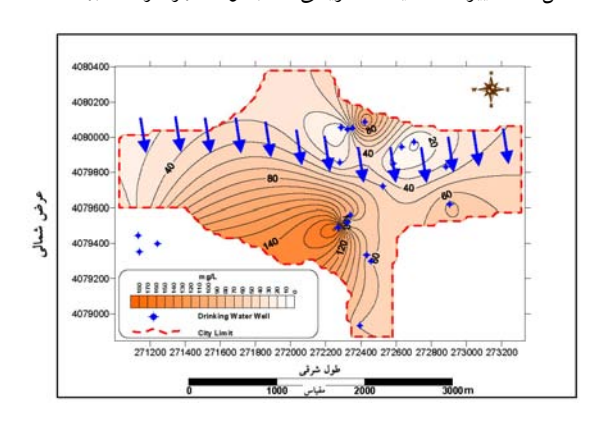
با توجه به روند نمونهها در نمودار دورو تیپ آب زیرزمینی از بی کربنات کلسیم تا سولفات منیزیک میباشد اما این روند ممتد نیست. نمونههایی که در منطقه

B تجمع دارند (شکل ۱۳) از روند کلی هیدروژئوشیمیایی آبخوان تبعیت میکنند. نمونههای منطقه A همگی مربوط به چاههای شمال شهر گرگان (شمال گسل خزر) میباشند و براساس سکانس تکاملی باید به تیپ منیزیم نزدیک باشند اما تجمع آنها در نمودار مربوطه حاکی از تیپ بسی کربناته ایس نمونهها دارد، بنابراین عاملی هیدروژئولوژیکی باعث تغییر در مسیر سکانس تکاملی شده است.

به منظور بررسی دقیق تر هیدرو ژئوشیمیایی آبخوان مورد مطالعه از نمودارهای ترکیبی در دو فصل بهار و زمستان استفاده شده است. این نمودارها براساس غلظت یونهای اصلی (TDI) در محور افقی و غلظت آنیونها و یا کاتیونها در محور قائم استوار می باشد که در تشخیص

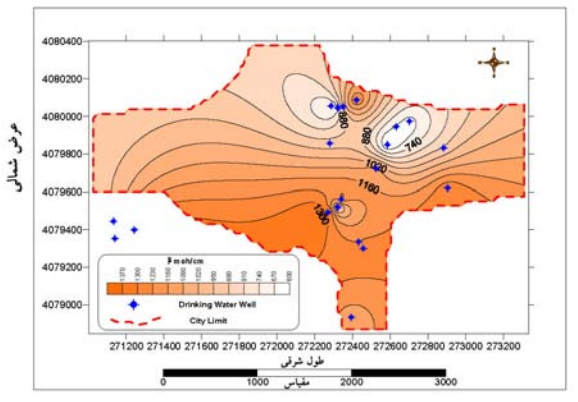


شکل ٤- تغييرات هدايت الکتريکي در آبخوان شهر گرگان (بهار ٨٣).

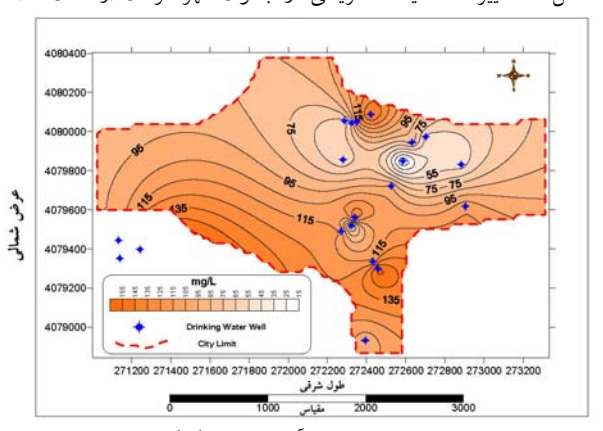


شکل ٦- تغييرات يون کلريد در آبخوان شهر گرگان (بهار ٨٣).

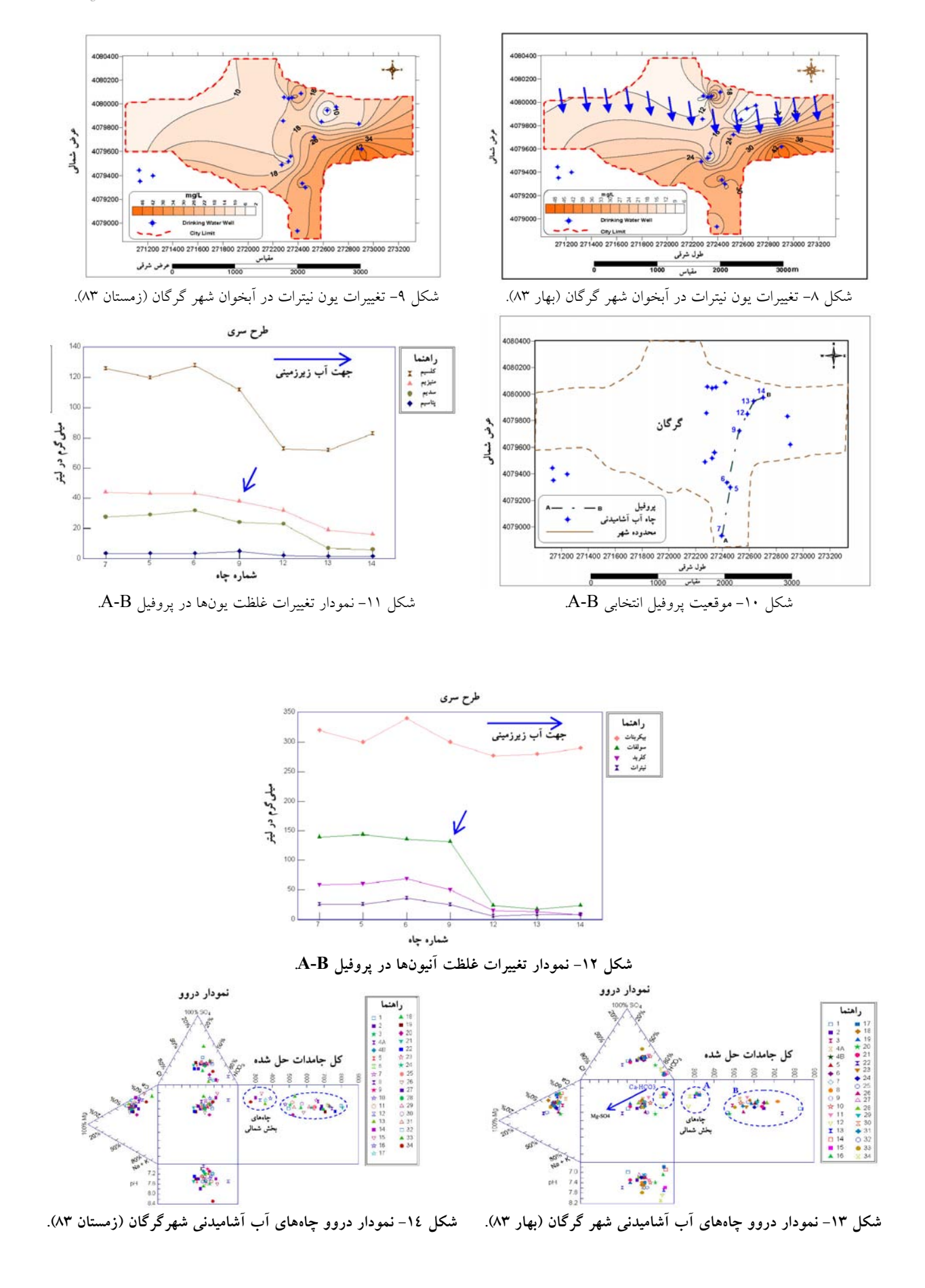
منابع تغذیه کننده آب زیرزمینی کاربرد دارد (مزور، ۱۹۹۱). به طوری که نحوه آرایش نمونه ها دلالت بر منابع تغذیه کننده آنها دارد. پراکندگی نمونه در نمودارهای مربوطه نشان از دو منبع آبی مختلف دارد. این اختلاف در فصل بهار محسوس تر می باشد (شکلهای ۱۵ تا ۱۸). با توجه به نمودارهای میذکور در جهت حرکت آب زیرزمینی میزان غلظت یونها در حال افزایش می باشد اما این روند برای چاههای شمال گرگان (شمال گسل خزر) صادق نمی باشد و برخلاف انتظار دارای غلظتهایی کمتر از چاههای جنوبی هستند. بنابراین عاملی توانسته سکانس تکاملی یونی و موقعیت هیدروژئوشیمیایی برخی از چاهها را در طول مسیر جریان آب زیرزمینی تغییر بدهد.

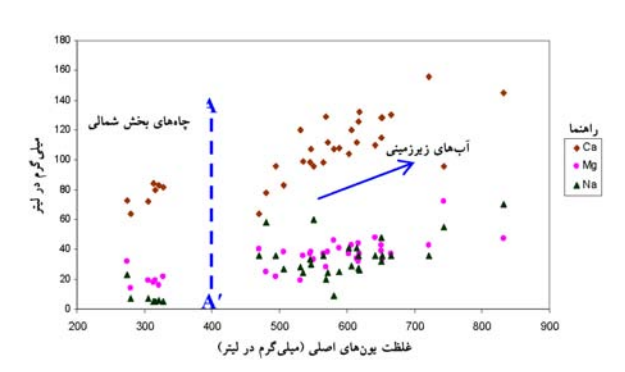


شكل ٥- تغييرات هدايت الكتريكي در آبخوان شهر گرگان (زمستان ٨٣).

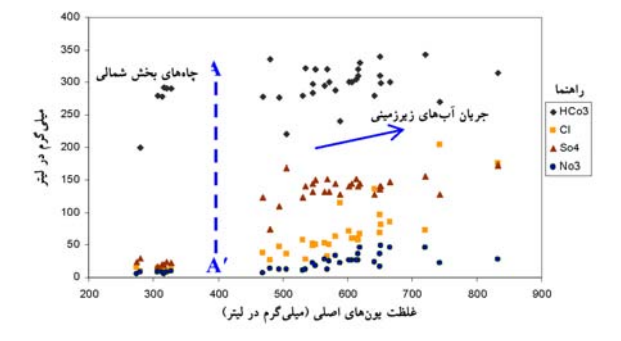


شكل ٧- تغييرات يون كلريد در أبخوان شهر گرگان (زمستان ٨٣).



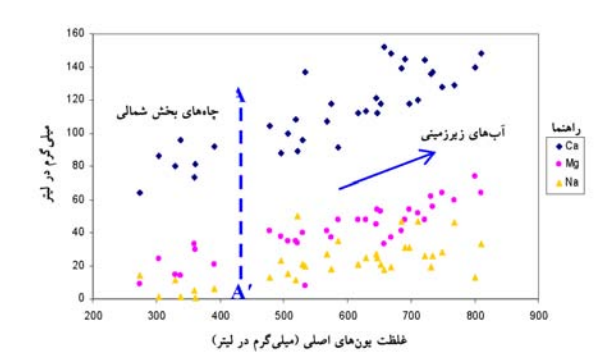


شکل ۱۵- نمودار ترکیبی کاتیونی چاههای آب آشامیدنی شهر گرگان شکل ۱۳- نمودار ترکیبی کاتیونی چاههای آب آشامیدنی شهر گرگان (بهار ۸۳).

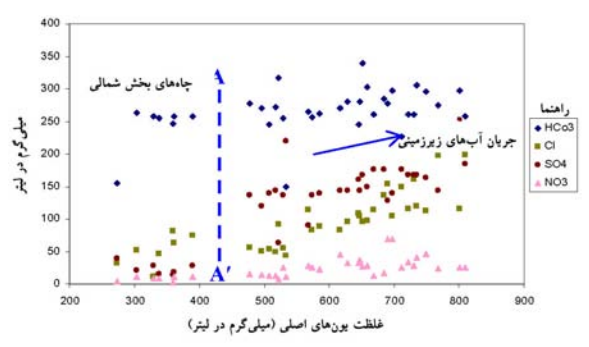


شکل ۱۷- نمودار ترکیبی آنیونی چاههای آب آشامیدنی شهر گرگان (بهار ۸۳).

جهت محاسبه نمایههای اشباع (SI) نمونههای آبزیرزمینی از کد کامپیوتری PHREEQC I (بارخورست و آپلو، ۱۹۹۹) استفاده شده است. اغلب نمونههای آب زیرزمینی این منطقه نسبت به کلسیت و دولومیت فوق اشباع تا اشباع و نسبت به ژیبس تحت اشباع مى باشند. از آنجايي كه آبرفت موجود در منطقه حاصل آوردهای رودخانههای قرهسو است و این نهشتههای آواری از فرسایش سازندهای مختلف البرز از جمله سازندهای آهکی (نظیر سازند لار) منشاء می گیرند مى توان استنباط نمود كه بالا بودن نمايه هاى اشباع دولومیت نسبت به نمایههای اشباع کلسیت به علت و جود کانی های دولومیت و کلسیت منیزیمدار، رخداد فرایند دی دولومیتیزاسیون او رسوب گذاری کلسیت باشند. در مسیر جریان آب زیرزمینی درحالت کلی نمایه اشباع كلسيت، دولوميت و آراگونيت تقريباً نشانگر افزايش مقادیر نمایه های اشباع (SI) از مناطق تغذیه ای در جنوب شهر به سمت شمال شهر و کاهش مقادیر (نمایههای



(زمستان ۸۳).



شکل ۱۸- نمودار ترکیبی آنیونی چاههای آب آشامیدنی شهر گرگان (زمستان ۸۳).

اشباع SI) ژیپس، انیدرت و هالیت می باشد. روند افزایشی و کاهشی نمایههای مذکور یکنواخت نمی باشد به طوری که تغییرات شدیدی را در چاه شماره ۹ از خود نشان می دهند (شکل های ۱۹ و ۲۰). بنابراین می توان نتیجه گرفت که گسل خزر باعث تغییراتی در نمایه های اشباع نیز شده است که ناشی از تغییر غلظت آنیـونهـا و كاتيونها در ناحيه عبور آن از شهر گرگان است.

نتيجه گيري

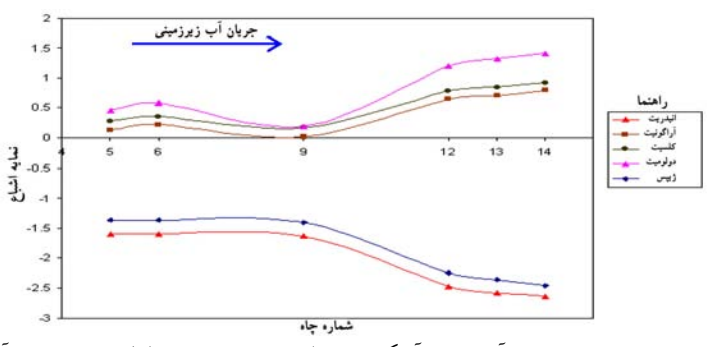
در مدیریت کیفیت آب آشامیدنی نیاز به شناخت خصوصیات فیزیکی، شیمیایی و بیولوژیکی آب و اثر متقابل ميان فرآيندهاي فيزيكي، شيميايي، بيولوژيكي، انتقال و تبديلات مي باشد.

بر طبق نقشههای هم ارزش، غلظت پارامترهای هيدروژئوشيميايي همچون هدايت الكتريكي، كلريد و نیترات در جهت حرکت آب زیرزمینی بهطرف شمال شهر گرگان در امتداد ناحیهای شرقی- غربی کاهش می یابد و بعد از این ناحیه، رفته رفته بر غلظت یونهای افزوده

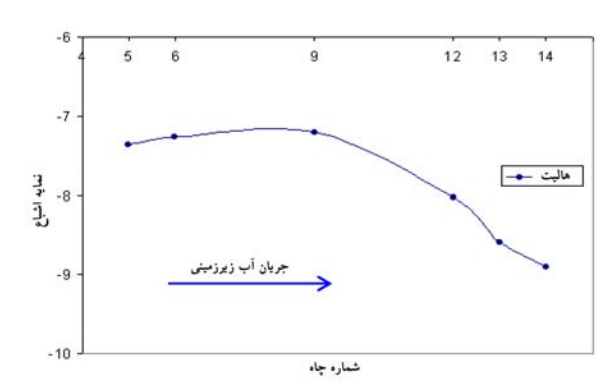
می شود. با توجه به اینکه شاخهای از رودخانه قرهسو در محدوه مورد مطالعه، امتداد شمالي - جنوبي دارد بنابراين نمی تواند مربوط به تأثیر نفوذ آبهای سطحی باشد. تقریباً غلظت تمامي يونهاي ذكر شده در جهت جريان أب زیرزمینی بعد از چاه شماره ٦، کاهش مییابد و کمترین مقدار آنها برای آنیونها چاه شماره ۱۲ و کاتیونها چاه شماره ۱۳ میباشد. براساس نمودار دروو تیپ آب زیرزمینی از بی کربنات کلسیک تا سولفات منیزیک مى باشد اما اين روند ممتد نيست. تجمع نمونـههـا در دو منطقـه مـی باشـد کـه در نگـاه کلـی از رونـد تکـاملی هيدروژئوشيميايي آبخوان تبعيت ميكنند. نمونههايي كه دارای تیپ بی کربنات کلسیم می باشند مربوط به چاههای شمال گسل خزر می باشند و براساس سکانس تکاملی باید دارای تیپ منیزیم باشند اما تجمع آنها در نمودار مربوطه نشان از تیپ بی کربناته این نمونه ها دارد، بنابراین عاملی هیدروژئولوژیکی باعث تغییر در مسیر سکانس تکاملی یونها شده است. باتوجه به نمودارهای TDI و SI در جهت حرکت آب زیرزمینی میزان غلظت یونها در حال افزایش می باشد اما این روند برای چاههای شمال گسل

خزر واقع در شمال گرگان صادق نمی باشد و برخلاف انتظار دارای غلظتهایی کمتر از چاههای جنوبی هستند. روند تغییرات نمایههای اشباع یکنواخت نمی باشد به طوری که تغییرات شدیدی را در چاه شماره ۹ از خود نشان می دهند بنابراین می توان نتیجه گرفت که از روی اطلاعات حاصله از نمودارهای TDI و SI در نمایههای اشباع گسل خزر باعث تغییرات غلظت آنیونها و کاتیونها در ناحیه عبور آن از شهر گرگان شده است.

با توجه به اثرات سمی نیترات بهویژه در اطفال و استفاده بهینه از چاههای آب آشامیدنی آلوده به نیترات منطقه، رقیقسازی و اختلاط آبهای آلوده با آبهای واجد غلظت کم نیترات به همراه تبادل یونی با استفاده از رزینها بهمنظور جایگزینی نیترات با عوامل غیرزیانآور پیشنهاد می شود. ضمناً، اعمال برنامههای مدیریتی مانند پهنهبندی میزان نیترات آبهای زیرزمینی برای تعیین محل حفر چاههای آب آشامیدنی و انتخاب منابع تأمین آب آشامیدنی دور از مناطق شهری و صنعتی را در کاهش خطر آلودگی نیترات آب آشامیدنی شهر گرگان می توان مطرح نمود.



شکل ۱۹- تغییرات نمایههای اشباع آنیدریت، آراگونیت، کلسیت و ژیپس در طول مسیر جریان آب زیرزمینی.



شكل ۲۰- تغييرات نمايه اشباع هاليت در طول مسير جريان آب زيرزميني.

منابع

- 1.APHA, 1998. Standard methods for examination of water & waste water. American Public Health Association, Washington, DC.
- 2.APHA, AWWA, WPCF. 1995. Standard methods for examination water and waste water. American Public Health Association, Washington DC.
- 3.Appelo, C.A.J., and Postma, D. 1994. Geochemistry Groundwater and Pollution. Brookfield, 2th Balkema, Rotterdam, 536P.
- 4.Back, W. 1966. Hydrochemical facies and groundwater flow pattern in northern part of Atlantic coastal plain. U.S. Geol. Surv. Prof. Paper, 498-A
- 5.Bayari, C.S., and Kurttas, K. 1995. Geochemistry or regional groundwater flow in Aladag Karastic a aquifers Eastern Taurids. Turkey: Effect of flow conditions. Turkey Journal of Earth Science, 4:29-37.
- 6.Berger, L. 1972. Complimentary investigation of ground water development in the Gorgan and plain area, Gorgan Project, vol.1: Geology and geophysics, hydrology and water resources, Payab Consulting Engineers, 304p.
- 7.Drinking Water Facts. 2003. All about Australia's drinking water, CRC, 4p.
- 8.EPA. 1998. The quality of our nation's water, 1996. Washington, Environmental Protection Agency.
- 9. Fononi, B, 1989. The investigation of the cause of drinking water wells reduction the water level of Gorgan city, 82 p.
- 10. Freeze, R.A., and Cherry, J.A. 1979. Ground water, Prentice Hall, Englewood Cliffs, NJ, 691pp.
- 11. Gibbs, R.J. 1970. Mechanisms World water Chemistry. Science, 170, 1088-90.
- 12.Hem, J. D. 1989. Study and interpretation of the Chemical characteristics of natural water. U.S. Geological Survey, Water Supply, 1473-363pp.
- 13.Iranian standard institute and industrial research, 1988. Physical and chemical properties drinking water. Std. No. 1052, 13 p.
- 14.Jeong, C.H. 2001. Effect of land use and urbanization on hydrochemistry and contamination of groundwater from Taejon area, Korea. Journal of Hydrology, 253, 194-210.
- 15.Malina, J.F. 1996. Water quality.8:1-49. *In* Mays L.W., Water Resources Handbook, McGraw Hill New York.
- 16.Mazor, E. 1991. Applied chemical and isotopic groundwater hydrology, John Wiley & Sons, New York, 274P.
- 17. Ophori, D.U., Toth. J. 1989. Patterns of groundwater chemistry, Ross Creek basin, Alberta, Canada, Ground Water, 27, 20-26.
- 18.Parkhurst, D.L., and Appelo, C.A.J., 1999. PHREEQE a computer program for geochemical calculations, U. S. Geological Survey, 210pp.
- 19.Piper, A.M. 1944. A Graphic procedure in hydrochemical interpretation or water analysis. AGU Trans, 25, 914-923.
- 20.Raghimi, M., Seyed Khdemi, S. 2001. Investigation of nitrate pollution in groundwater (Case study: Gorgan city). Proceeding of Environment pollutant, Gilan university (27 Apr 2002). 191-196 p.
- 21. Sawyer, C.N., and McCarty, P.L. 1967. Chemistry for sanitary engineers. McGraw-Hill., N.Y., 518 p.
- 22. Shahpasandzadeh, M. 1992. Structural and sedimentary environment interpretation of metamorphic rocks complex of Gorgan. Tehran Tarbiat Moalem University. Gology M.Sc. Dissertation, 297 p.
- 23.Shahpasandzadeh, M., Raghimi, M., Damavandi. M.Z. Seyed Khdemi, S. 2002. Investigation of nitrate pollution origin of water drinking of Gorgan city. Proceeding of the 6th Geological society of Iran kerman university (27-29 Aug. 2002) 45-54 p.
- 24. Shahrabi, M. 1990. Geological map of Gorgan (scale 1: 250,000) No. 44 Geological survey of Iran, Tehran, one sheet.
- 25.Stiff, H.A. 1951. The interpretation of chemical water analysis by means of Patterns, Journal of petrol. Tech. 3, 15-17.
- 26.Zamani Pedram, M., and Hosseini, H. 2003. Map and report of Geology of Gorgan 1:100000 sheet no. 6863. Geological survey of Iran, Tehran, one sheet.

J. Agric. Sci. Natur. Resour., Vol. 15(1), Apr -May 2008 www.jasnr.info www.sid.ir www.magiran.com/jasnr

The Effects of geological factors on chemical quality of drinking water of Gorgan City, Iran

*M. Raghimi¹, A. Rahimi Chakdel², M. Gareh Mahmood Loo³, M. Shahpasandzadeh⁴ and S. Mohammad Khademi⁵

¹Associate Prof, Dept, of Geology, Gorgan University of Agricultural Science and Natural Resources, Iran, ²Assistante Prof, Dept., of Geology, Gorgan University of Agricultural Science and Natural Resources, Iran, ³Instructor, Dept. of Natural Resources, Gorgan University of Agricultural Science and Natural Resources, Iran, ⁴Assistant Prof. International of Earthquake and seismology Interval, Iran, ⁵Expert of water and Sewaye company of Golestan Province, Iran.

Abstract

More than 80% of drinking water of Gorgan city is supplied by groundwater of the region (Ziarat, Garmabdasht, and Shast-kula aquifers) and rest of that from Ziarat and Alang Dareh rivers. Hydro chemical studies and interpretations carried out on collected samples on Piper, Durve, and Gibbs diagrams in summer and winter 1383. The results indicate that hydro chemical fancies of drinking water are Ca⁺²-Mg⁺² HCO⁻³ Cl⁻ and Ca⁺²-Mg⁺² HCO⁻³. According to hardness classification, water class of Gorgan drinking water is in the range of very hard. While, the total dissolved solid (TDS) of Gorgan drinking water is rock-dominance according to Gibbs classification. The data obtained from TDI and SI diagrams shows that the rate of ionic concentrations are increasing in flow direction of groundwater, but not for wells located in the northern part of the city. The saturation index variation on TDI and SI diagrams is not continuous. So, it could be concluded that Khazar fault causes high changes in ionic concentration and saturation index of groundwater in northern region of city. According to interpretation of laboratory chemical data analysis, the precise knowledge of chemical quality of drinking water resources could be useful in planning and management of drinking water resources in this city.

Keywords: Geological factors; Chemical quality; Hydrochemistry; Drinking water; Gorgan city.

^{*-} Corresponding Author; Email: raghimi@yahoo.com